

روابط بین دوام‌های مؤثر، بازه‌یی و یکنواخت با شاخص‌های زلزله و شرایط ساختگاه با استفاده از داده‌های لرزه‌یی ایران

منصوره رضائی‌منش (کارشناس ارشد)

حیدر صفاری* (استادیار)

دانشکده‌ی مهندسی عمران، آب و محیط زیست، دانشگاه شهید بهشتی

در مطالعه‌ی حاضر، ارتباط بین تعاریف مختلف دوام با بیشینه‌ی شتاب سطح زمین، عمق کانونی و شرایط خاک ساختگاه با استفاده از رکوردهای شتاب‌نگاشت در ایران، محاسبه و ارائه شده است. در این راستا، از ۱۰۵۴ رکورد سه مؤلفه‌ی مربوط به ۱۹۷ رویداد لرزه‌یی ثبت شده با بزرگ‌تری گشتوار مساوی ۰/۵٪ استفاده شده است. نتایج نشان می‌دهند که با افزایش شتاب اوج زمین، دوام بازه‌یی و یکنواخت افزایش می‌یابند؛ در حالی که در مورد دوام مؤثر، عمدۀ رکوردهای با دوام مؤثر طولانی، عمدتاً شتاب اوج زمین کمی داشته‌اند. همچنین روابط ریاضی تغییرات هرگونه دوام با شتاب اوج زمین و عمق کانونی و تغییرات نوع خاک نشان داده است. رابطه‌ی بین مدت دوام و بیشینه‌ی دامنه‌ی حرکات قوی زلزله برای حرکت ورودی در طراحی لرزه‌یی سازه‌ها به خصوص سازه‌های بتون مسلح که در سیکل‌های پیاپی زلزله دچار افت سختی و کاهش مقاومت می‌شوند، اهمیت زیادی دارد.

واژگان کلیدی: دوام معنی‌دار، دوام بازه‌یی، دوام یکنواخت، بیشینه‌ی شتاب سطح زمین، شرایط خاک ساختگاه.

mrezaeemanesh@yahoo.com
h_saffari@sbu.ac.ir

۱. مقدمه

از همبستگی احتمالی بین مدت دوام حرکت قوی و پاسخ‌های لرزه‌یی سازه‌یی [۱-۵] است. کامیاما^۱ (۱۹۸۴) تجزیه و تحلیل رگرسیون چندگانه‌یی را انجام داد که نه فقط عوامل زلزله، بلکه شامل شرایط سایت محلی به عنوان متغیرهای مستقل بود و به مدت دوام و پارامترهای مرتبط با آن اعمال می‌شد.^[۶] شوچی و همکارانش (۲۰۰۴)، ویزگی‌های مدت دوام و دامنه‌ی حرکات قوی زمین را با درنظر گرفتن آثار سایت محلی مطالعه و بررسی کردۀ‌اند که مدت دوام چگونه تحت تأثیر بزرگ‌ای زلزله، فاصله‌ی دورانی، و عمق کانونی قرار گرفته است. همچنین روند میانگین و روند کلی مدت دوام و پارامترهای مرتبط با آن را ارائه دادند. علاوه بر این، ذکر کردۀ‌اند که مدت دوام و ویزگی‌های دامنه‌ی حرکات زمین زلزله به دلیل بزرگ‌ای زلزله، فاصله‌ی رومرکزی، عمق کانونی و شرایط سایت محلی، اثر متقابلی را متحمل می‌شوند.^[۷] چاندارموهان^۲ و همکارانش (۲۰۱۶)، تأثیر مدت دوام حرکت زمین در ظرفیت‌های واژگونی یک قاب خمسمی فولادی ۵ طبقه و یک پایه‌ی پل بن مسلح را بررسی کردۀ‌اند. آن‌ها تأثیر مدت دوام را از آثار دامنه‌ی حرکت زمین و شکل طیفی پاسخ رکوردهای دارای دوام کوتاه‌مدت و طولانی مدت و بدکارگیری آن‌ها در تجزیه و تحلیل دینامیکی غیرخطی جدا کردۀ‌اند. برای قاب خمسمی فولادی، تخمین ظرفیت واژگونی متوسط، زمانی که مجموعه‌ی دوام طولانی مدت به کار گرفته شد، در مقایسه با بدکارگیری مجموعه‌ی دوام کوتاه‌مدت، ۲۹٪ کمتر بوده است. برای پایه‌ی پل بتقی، ظرفیت واژگونی ۱۷٪

زمین لرزه از خانواده‌ی پدیده‌های طبیعی است که اغلب آسیب‌ها و خسارت‌های زیادی وارد می‌کند. در مهندسی عمران، زمین لرزه با مکانیسم وقوع، بزرگ‌ای، عمق، مسیر انتقال به سایت و تأثیر شرایط محلی خاک در ارتباط خواهد بود. با رسیدن به محل، رکورد زمین لرزه به صورت فیزیکی در قالب تاریخچه‌ی زمانی ارائه می‌شود و شامل دامنه، محتوای بسامدی و مدت زمان آن است.^[۸] اهمیت بیشینه‌ی دامنه و محتوای بسامد تشخیص داده شده است. شاخص‌های مختلف، به عنوان مثال، شتاب اوج زمین و سرعت اوج زمین به شدت تحت تأثیر شرایط سایت محلی، مانند: زمین شناسی سطح پیچیده و توپوگرافی نامنظم است. از سوی دیگر، تجربیات تعدادی از زمین لرزه‌ها نشان داده است که به دلیل دوام کوتاه، حتی اگر شتاب‌ها و دامنه‌های طیفی بزرگ باشند، صدمات اندکی به سازه‌ها تحمیل می‌شود.^[۹] خصوصیات حرکت زمین، تأثیر مهمی در رفتار لرزه‌یی ساختمان‌ها، از جمله: شدت حرکت زمین، مدت دوام و محتوای بسامدی دارد.^[۱۰]

تجربه‌ی زمین لرزه‌های بیشمار نشان داد که حرکت زمین با اوج متوسط و دوام حرکت قوی طولانی‌تر ممکن است باعث خسارت شدیدتری نسبت به اوج بزرگ‌تر اما با دوام کوتاه‌تر شود.^[۱۱] علاوه بر این، مطالعات بیشمار حاکی

* نویسنده مسئول

تاریخ: دریافت ۲۷/۰۲/۱۳۹۹، اصلاحیه ۱۱/۵/۱۳۹۹، پذیرش ۱۹/۵/۱۳۹۹.

DOI:10.24200/J30.2020.55728.2769

این راستا، مدت دوام و شتاب اوج زمین^۸ به عنوان پارامتر نماینده‌ی مدت دوام و وزگی‌های دامنه‌ی حرکات زمین‌لرزه‌ی انتخاب شد. علاوه بر این، میانگین سرعت موج برشی در ۳۰ متر فوقانی (V_{S^+})^۹ به عنوان پارامتر کمی از شرایط سایت محلی در نظر گرفته شد. همچنین علاوه بر مطالعه‌ی و وزگی‌های شتاب اوج زمین و سرعت موج برشی و دوام زلزله، تأثیر عمق کانونی نیز بررسی شده است. رابطه‌ی بین دوام و پیشینه‌ی دامنه‌ی حرکات قوی زلزله ممکن است برای حرکت روزدی در طراحی، مقاوم سازه‌ها در برای زلزله اهمیت پیشتری پیدا کند.

۲. ساگاه داده

نتیجه این مطالعه از مراکز تحقیقات راه، مسکن و شهرسازی (BHRC)، در ایران تهیه شده است. پایگاه داده‌ی استفاده شده در مطالعه‌ی حاضر شامل ۱۰۵۴ رکورد سه مؤلفه‌ی مربوط به ۱۹۷۰ رویداد لرزه‌ی ثبت شده در ایران با بزرگای گشتوار بزرگ‌تر یا مساوی ۵/۰ بوده است. کلیه‌ی رکوردها مربوط به ساختگاه‌های هستند که عمر کانونی و سرعت موج برشی در ۳۰ متر اول عمق برای آن‌ها موجود است. پس از تهیه‌ی رکوردها، تصحیح خط مبنای بر روی آن‌ها انجام شد و با برنامه‌نویسی فرترن، دوام بازه‌یی با آستانه‌ی شتاب ۰/۵، دوام یکنواخت با آستانه‌ی شتاب ۰/۰ و دوام مؤثر (۵-۹۵ درصد) محاسبه شد. سپس با توجه به آیین نامه‌ی زلزله‌ی ایران ۲۸۰۰ مطابق جدول ۱، گروه‌بندی نوع خاک انجام شد و داده‌ها بر حسب نوع خاک در ۳ دسته قرار گرفتند. داده‌های گروه خاک ۴، بسیار کم و غرقابی، استناد نداشتند.

٣. تعريف انواع مدت دوام

بیش از ۳۵ نوع تعریف برای مدت دوام حرکت قوی وجود دارد.^[۲] تعاریف مختلف ممکن است کم و بیش مناسب برای برنامه‌های مختلف باشند. اگرچه تعداد زیادی از تعاریف از دوام حرکت قوی در ادبیات ارائه شده است، تعاریف موجود می‌توانند به ۴ دسته‌ی مختلف طبقه‌بندی شوند:

الف) دوام بازه یه [۲۵ و ۲۶]

ب) دوام بکنواخت [۲۷]

ج) دوام موثر [۲۸]

مشکل اصلی در مطالعه‌ی ویژگی‌های مدت دوام، چگونگی تعریف آن است که چندین پیشنهاد ارائه شده است.^[۲۹] با این حال، هدف نوشتار حاضر، بررسی برتری هر تعریف نسبت به بقیه تعاریف نیست، بلکه به بررسی ویژگی‌های مدت دوام تحت تأثیر عوامل مختلف پرداخته است. تعاریف مدت دوام استفاده شده در نوشتار حاضر، مدت دوام بازیمی در آستانه شتاب $0.5^{\circ}/\text{s}$ ، مدت دوام یکنواخت

جدول ۱. طبقه‌بندی نوع خاک با توجه به آیین‌نامه‌ی زلزله‌ی ۲۸۰۰ ایران.

نوع خاک	محدوده‌ی سرعت موج بر پرسی	m/s	تعداد داده‌ها
۱	$75^\circ < V_S$		۳۴۱
۲	$375 < V_S < 75^\circ$		۵۳۶
۳	$175 < V_S < 375$		۱۷۵
۴	$V_S < 175$		۴

کمتر است. تجزیه و تحلیل حساسیت به پارامترهای مدل سازه‌ی نشان می‌دهد که سازه‌ی با ظرفیت تغییرشکل بالا و سرعت سریع زوال چرخه‌ی، به مدت دوام حساسیت هستن.^[۱۲]

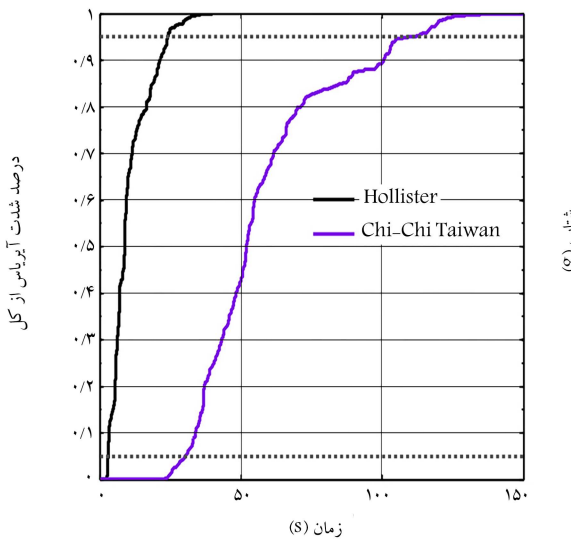
امروزه روش‌های مختلفی برای لحاظ کاهش سختی و مقاومت در سیکل‌های پیاپی زلزله به منظور لحاظ دوام زلزله ارائه شده است. به عنوان مثال، چاندارموهان (۲۰۱۶) مطالعه‌ی پیرامون ارزیابی تأثیر مدت دوام حرکت زمین در خطر واژگونی سازه‌ی انجام داد و روش‌هایی را برای درنظر گرفتن آن در ارزیابی عملکرد سازه‌ی طراحی مطرح کرد.^[۱۳] کاپارلو^[۱۴] (۲۰۱۸) به بررسی دقیق تأثیر حرکات فروزانش در طراحی، به ویژه تأثیر مدت دوام و ارزیابی پتانسیل خسارت حرکات فروزانش پرداخته است.^[۱۵] همچنین فیرهارست^[۱۶] و همکارانش (۲۰۱۹) به بررسی تأثیر مدت دوام حرکت زمین در طراحی و خطر واژگونی ساختمان‌های دیوار برخی بتمنی از ۶ تا ۳۵ طبقه پرداختند و طراحی و واژگونی سطوح لرزش را از طریق تجزیه و تحلیل دینامیکی، افزایشی، غیرخطی، در نظر گرفتند.^[۱۷]

همچنین، بسیاری از پژوهشگران متوجه این واقعیت شده‌اند که دوام حرکت قوی زمین لرزه از سایتی به سایت دیگر حتی طی زمین لرزه متشابه، متفاوت است. بنابراین، بدون درک ویژگی‌های مدت دوام نمی‌توان پیش‌بینی دقیق و کمی از حرکات قوی زمین لرزه به دست آورد.^[۱۶] مدت دوام حرکت قوی زمین، در کدهای طراحی لرزه‌نگاری در سراسر جهان به عنوان یکی از پارامترهای اصلی حرکت قوی زمین در نظر گرفته شده است.^[۱۷]

خسارتهای ناشی از زلزله‌های فروزانش بزرگ تا حدودی از تعداد زیاد چرخه معکوس باز ناشی می‌شود. مطالعات تجربی و تحلیلی نشان می‌دهند که مشارکت مدت دوام تکان و تعداد چرخه‌ها به آسیب منجر می‌شود. وقتو^۵ و همکارانش (۲۰۱۹) به بررسی چگونگی تأثیر مدت دوام تکان در پاسخ ساختمان‌های بلند و دیوار برپشی در بریتیش کلمبیا که در منطقه‌ی فروزانش کاسکادای واقع شده است، پرداخته و همچنین یک مطالعه‌ی موردنی از یک قاب بتن مسلح ارائه داده‌اند، تا نشان دهند که تکان با مدت دوام طولانی نیز می‌تواند به طور قابل توجهی در پاسخ لرزه‌ی آن‌ها تأثیر بگذارد. نتایج ذکر شده برای تدوین مقاد طراحی مفید بوده است، که مدت دوام تکان را به حساب می‌آورد.^[۱۸] مطالعات اخیر تأثیر مدت دوام حرکت زمین در ظرفت و اگونه، سازه را نشان می‌دهد.^[۱۹]

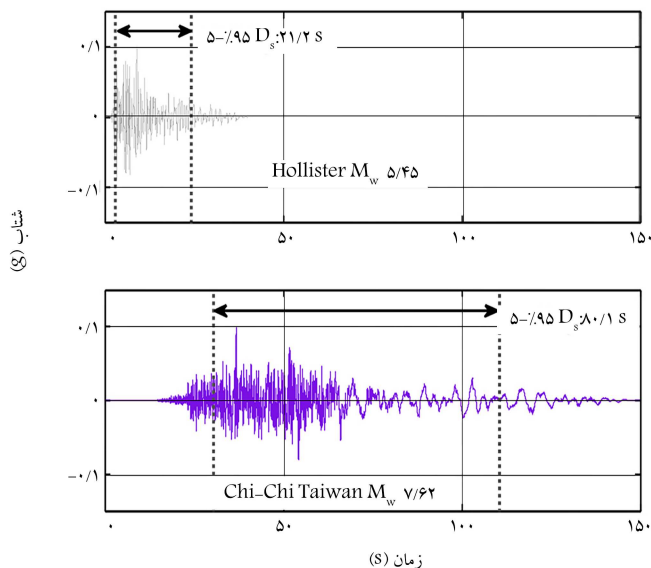
میلزاده و صفاری (۱۸۰۲)، آثار مدت دوام حرکت قوی زمین در پاسخ لرزه‌ی بی سیستم یک درجه آزادی را بررسی کرده‌اند.^[۲۰] بیشتر مطالعات در گذشته بر روی مدت دوام با یک آنالیز رگرسیون با استفاده از بزرگای زلزله و فاصله‌ی رومکزی به عنوان متغیرهای مستقل به دلیل راحتی و سادگی آن‌ها صورت گرفته است (به عنوان مثال، نوشتار تریفوناک و بدی^[۲۱] ((۱۹۷۵)))، به رغم بسیاری از نشنانه‌های مربوط به مدت دوام، مطالعات کمی در مورد رابطه‌ی بین دوام و شرایط سایت محلی وجود دارد. متأسفانه، بیشتر آن‌ها به صورت کیفی با شرایط سایت محلی سروکار داشته‌اند (به عنوان مثال، نوشتار دوربی^[۲۲] و هـ.کارانش^[۲۳] (۱۹۷۸) یک روش آماری مؤثر نشان داد که دوام نه فقط با بزرگای زلزله و فاصله‌ی رومکزی، بلکه با شرایط سایت محلی، نیز ارتباط دارد.^[۲۴]

در مطالعه‌ی حاضر، رکوردهای حرکت قوی زمین لرزه‌های ایران از مرکز تحقیقات راه، مسکن و شهرسازی (BHRC) [۲] به کار گرفته شده است، تا رابطه‌ی بین تعاریف مختلف دوام با پیشینه‌ی شتاب سطح زمین، فاصله‌ی عمق کانونی و شرایط ساختنگاه مشخص شود. هدف از این کار، آشکار ساختن دوام و دامنه‌ی ویژگی‌های حرکات قوی زمین لرزه و به دست آوردن اطلاعات معنی‌دار از حرکات ورودی در دسترس پژوهی طراحی، مقاوم در برپای زلزله براساس سوابق مشاهده شده است. در

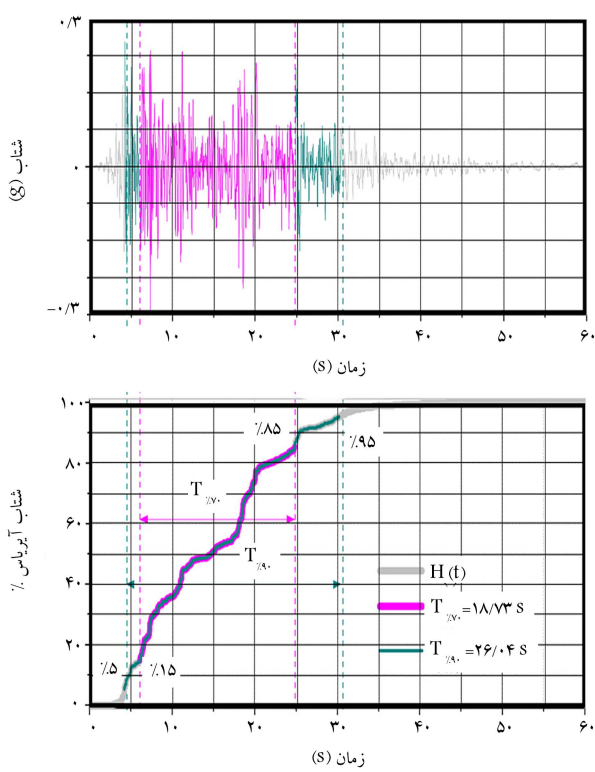


ب) نمودار درصد شدت آریاس از کل - زمان.

شکل ۱. الف) تاریخچه شتاب - زمان زمین و ب) شدت آریاس برای رکوردهای حرکت زمین با بیشینه شتاب حرکت زمین یکسان اما دوم های متفاوت. [۳۲]



الف) نمودار شتاب - زمان؛



شکل ۲. نمودار هیوسید یک شتاب نگاشت واقعی. [۳۲]

در نظر گرفته شده است. متداول ترین آن‌ها، $D_{S(5-95)}$ و $D_{S(5-75)}$ است که به این صورت تعریف می‌شوند:

$-- D_{S(5-95)}\%: \text{ دام مؤثر ۹۵\%: فاصله‌ی زمانی که در آن ۵ تا ۹۵ درصد}$

$\int_0^{t_{\max}} a(t)^2 dt$ جمع می‌شود. [۳۴]

$-- D_{S(5-75)}\%: \text{ دام مؤثر ۷۵\%: فاصله‌ی زمانی که در آن ۵ تا ۷۵ درصد}$

$\int_0^{t_{\max}} a(t)^2 dt$ جمع می‌شود. [۳۵]

در آستانه‌ی شتاب $g/5^0$ ، و مدت دام مؤثر (۹۵-۵ درصد) بوده است که در ادامه توضیح هر یک ارائه شده است.

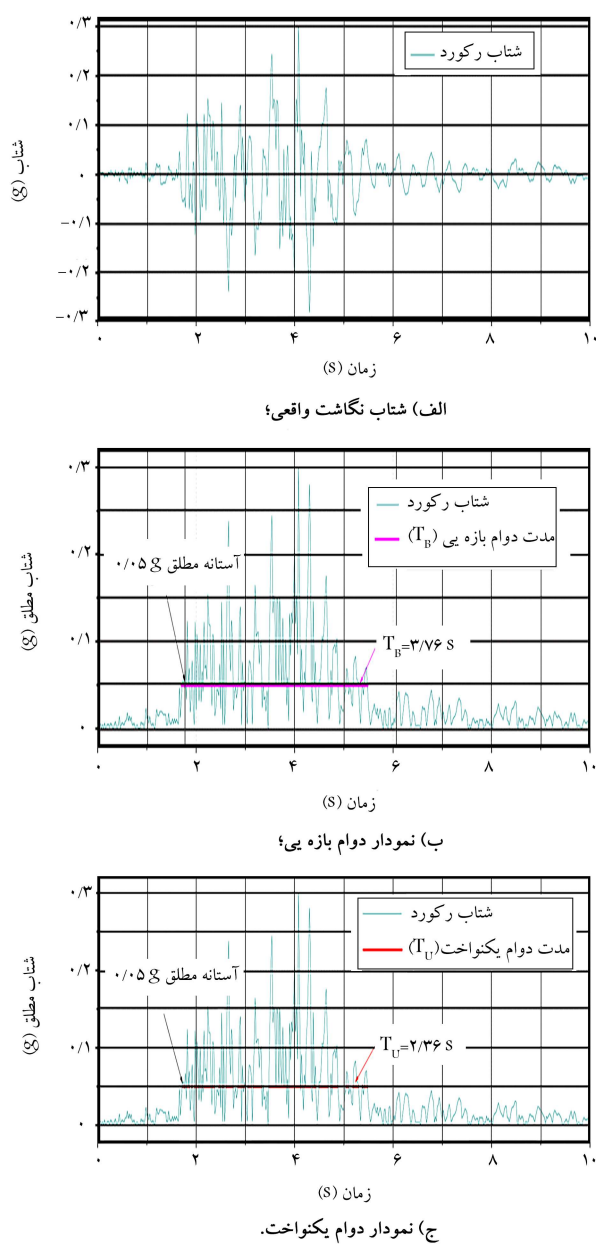
۱۰.۳. مدت دام مؤثر

شدت آریاس، شدتی است که برای اندازه‌گیری غیرمخرب، توسعه‌یافته و مجموع تمام انرژی‌های در واحد وزن است که در نوسان‌گرهای یک مجموعه‌ی نوسان‌کننده‌ی خطی نامیرا با توزیع یکنواخت بسامد در لحظه‌ی انتهایی زلزله (یا در هر لحظه بعد از پایان حرکت) ذخیره شده است. [۳۰] اساس این دسته از دام‌ها، توزیع تجمعی انرژی زلزله است که با استفاده از شتاب نگاشت تعیین می‌شود. مدت زمان مؤثر براساس انتگرال مربع شتاب زمین محاسبه می‌شود. مدت دام مؤثر اولین بار توسط بومر و پریرا^۹ (۱۹۹۹) تعریف شده است. [۳۱] در بیشتر تعریف‌های ذکر شده، از شدت آریاس استفاده شده است (رابطه‌ی ۳۱):

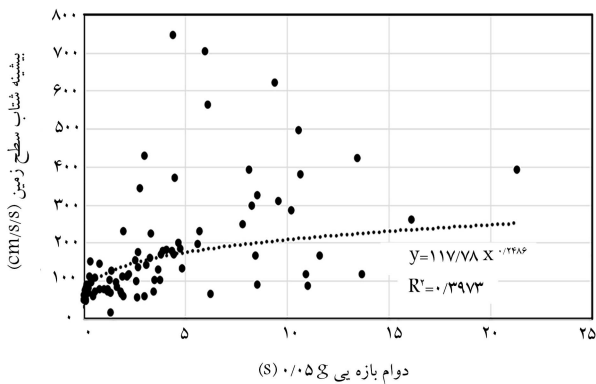
$$I_a = \frac{\pi}{2g} \int_0^{t_{\max}} a(t)^2 dt \quad (1)$$

که در آن، $a(t)$ شتاب در زمان t است که توسط رکورد شتاب نگاشت مشخص می‌شود. t_{\max} طول رکورد و I_a نشان‌دهنده‌ی میزان انرژی وارد بر سازه است. شکل ۱، دو حرکت زمین ضبط شده با بیشینه‌ی شتاب زمین (PGA) یکسان، اما مدت دام متفاوت را نشان می‌دهد. نمودار تغییرات شدت آریاس بر حسب زمان را نمودار هیوسید^{۱۰} می‌نمایند. شکل ۲، نمودار هیوسید یک شتاب نگاشت واقعی را نشان می‌دهد. [۳۲]

نمودار هیوسید U معمولاً از یک قسمت با شیب کم تشکیل می‌شود که مربوط به رسیدن امواج IP است. قسمت میانی نمودار شیب تندی دارد و مربوط به انرژی ورودی اصلی در اثر امواج S است. در قسمت انتهایی نمودار، شیب نسبتاً کم است و به امواج حجمی و سطحی که به طور غیرمستقیم به سیستم می‌رسند، مربوط می‌شود. شیب هر قسمت از نمودار هیوسید، در حقیقت میانگین مربع شتاب است. مدت دام مؤثر به صورت فاصله‌ی زمانی، که شامل درصد معینی از شدت آریاس است، تعریف می‌شود. این درصد توسط پژوهشگران مختلف به صورت‌های متفاوتی



شکل ۳. نمودار مدت دوام بازه‌یی و یکنواخت یک شتاب نگاشت طبیعی.^[۳۳]



شکل ۴. رابطه‌ی بین دوام بازدیدی در آستانه‌ی شتاب و g و بیشینه‌ی شتاب سطح زمین در خاک نوع ۱.

زیرگیان و انصاری (۱۲) روابط پیش‌بینی برای مدت دوام مؤثر داده‌های ایران را به دست آوردن و به این ترتیج دست یافتند که دوام بازه‌بی و یک‌باخت نسبت به دوام مؤثر، تأثیر بسیتری در سازه‌های بتن مسلح و ایجاد خرابی، سازه‌بی دارند.^[۳۶]

۲.۳. مدت دوام بازه‌یی

فاصله‌ی زمانی بین اولین و آخرین تجاوز شتاب زمین از حد معینی از شتاب را مدت دوام بازه‌ی می‌نامند. حد شتاب می‌تواند ضابطه‌ی مطلق یا ضابطه‌ی نسبی داشته باشد. حد شتاب با ضابطه‌ی نسبی، نسبتی یا درصدی از اوج شتاب زمین است. در حد شتاب با ضابطه‌ی مطلق، مقدار ثابتی از شتاب به عنوان حد شتاب در نظر گرفته می‌شود.

دوم بازه‌بی ۵۰/۰: زمان سپری شده بین اولین و آخرین تجاوز شتاب از آستانه‌ی ۵۰/۰ است.^[۳۷] ممکن است از آستانه‌های بالاتر یا پایین تراستفاده شود. با این حال، مقدار ۵۰/۰ به عنوان یک مقدار معقول برای ارزیابی حرکات زمینی که باعث آسیب به سازه‌های مهندسی می‌شود، در نظر گرفته می‌شود.^[۳۸]

۳.۳. مدت دوام پکنواخت

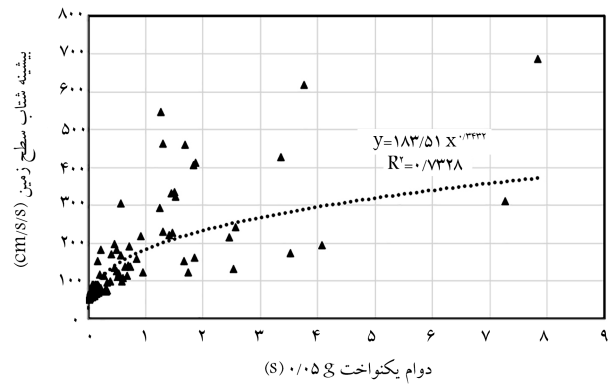
مجموع فواصل زمانی که طی آن شتاب زمین از حد معینی تجاوز می‌کند، را مدت دوام یکنواخت می‌نامند. حد شتاب، می‌تواند ضابطه‌ی مطلق یا نسبی داشته باشد. حد شتاب با ضابطه‌ی نسبی، نسبتی یا درصدی از اوج شتاب زمین است. در حد شتاب با ضابطه‌ی مطلق، مقدار ثابتی از شتاب به عنوان حد شتاب در نظر گرفته می‌شود. برای مثال بولت (۱۹۷۳)، معمولاً حد شتاب را با ضابطه‌ی مطلق و برابر $5g$ در نظر گرفته است.^[۲۷] شکل ۳ نمودار مدت دوام بازه‌یی و یکنواخت یک شتاب‌نگاشت طبیعی: (الف) یک شتاب‌نگاشت واقعی ب) نمودار دوام بازه‌یی (ج) نمودار دوام یکنواخت را نشان می‌دهد.^[۲۸]

طبق مطالعات انجام شده و محاسبه‌ی دوام‌های بازه‌یی و یکنواخت برای داده‌های ایران به عنوان یک نتیجه‌ی کلی می‌توان گفت هر چقدر آستانه‌ی شتاب موردنطالعه بالاتر رود، مقادیر دوام کاهش خواهند یافت. همچنین براساس نمودار پراکنش داده‌ها، پیشینه‌ی دوام یکنواخت همواره کمتر از دوام بازه‌یی بوده و تقریباً به دوام بازه‌یی متناظر، محدود شده است.^[۲۹]

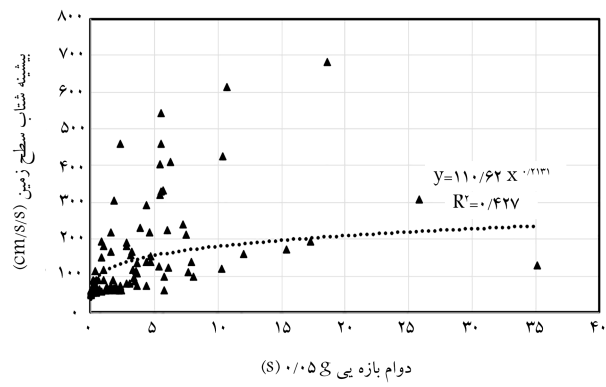
۴. روابط بین دوام‌های مختلف با شاخص‌های زلزله و انواع مختلف خاک

در پژوهش حاضر، ویژگی های مدت دوام بازه بی در آستانه شتاب 5 g ، مدت دوام یکنواخت در آستانه شتاب 5 g و مدت دوام مؤثر ($5\text{ g} / 45\%$) درصد در برابر بیشینه ای شتاب سطح زمین با استفاده از داده های مرکز تحقیقات راه، مسکن و شهرسازی با درنظر گرفتن شرایط سایت محلی خاک های نوع (۱، ۲ و ۳) بررسی شده است. در شکل های (۱) تا (۶)، روابط بین بیشینه ای شتاب سطح زمین و مدت دوام بازه بی در آستانه شتاب 5 g به ترتیب در خاک های نوع (۱، ۲ و ۳) برآورد شده است. ارتباط بین دوام ها و بیشینه ای شتاب سطح زمین توسعه رگرسیون نیز بر روی نمونه اها مشاهده می شود.

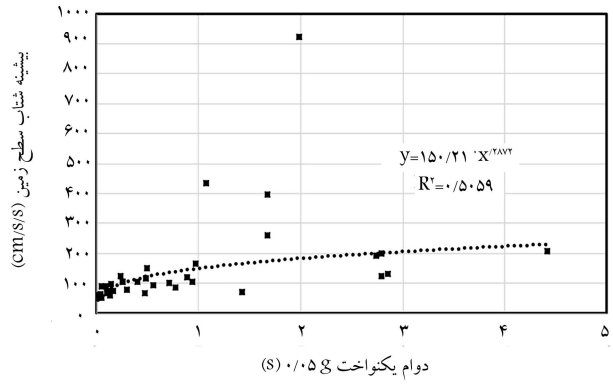
از شکل های ۴ الی ۶ نتیجه می شود که با افزایش بیشینه‌ی شتاب سطح زمین، دوام بازدهی در هر سه نوع خاک افزایش یافته است. همچنین هر چه خاک نرم تر شده است، شب تغییرات دوام بازدهی، با بیشینه‌ی شتاب سطح زمین افزایش یافته



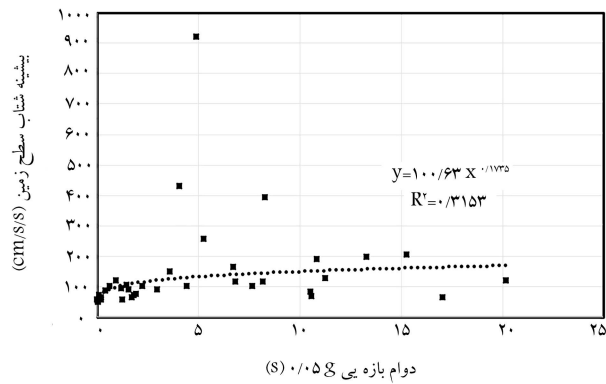
شکل ۸. رابطه‌ی بین دوام یکنواخت در آستانه‌ی شتاب $g/0.058$ و بیشینه‌ی شتاب سطح زمین در خاک نوع ۲.



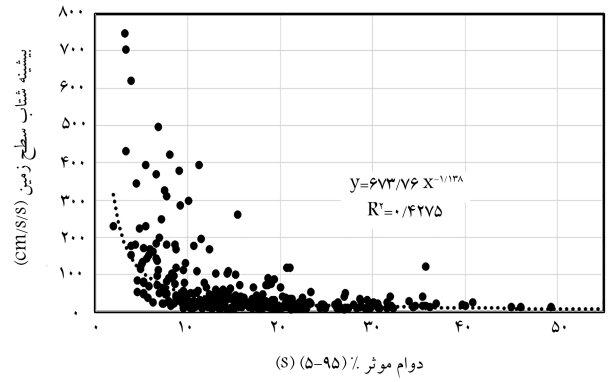
شکل ۵. رابطه‌ی بین دوام بازه‌ی در آستانه‌ی شتاب $g/0.058$ و بیشینه‌ی شتاب سطح زمین در خاک نوع ۲.



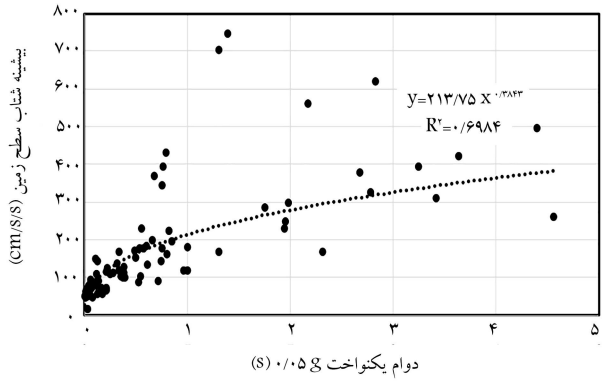
شکل ۹. رابطه‌ی بین دوام یکنواخت در آستانه‌ی شتاب $g/0.058$ و بیشینه‌ی شتاب سطح زمین در خاک نوع ۳.



شکل ۶. رابطه‌ی بین دوام بازه‌ی در آستانه‌ی شتاب $g/0.058$ و بیشینه‌ی شتاب سطح زمین در خاک نوع ۳.



شکل ۱۰. شکل رابطه‌ی بین دوام مؤثر (۹۵-۵ درصد) و بیشینه‌ی شتاب سطح زمین در خاک نوع ۱.



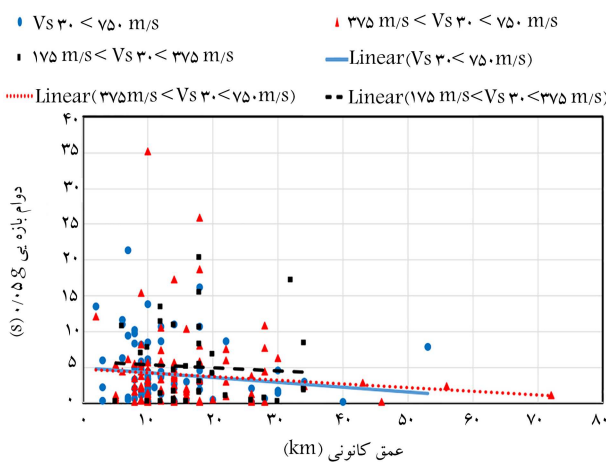
شکل ۷. رابطه‌ی بین دوام یکنواخت در آستانه‌ی شتاب $g/0.058$ و بیشینه‌ی شتاب سطح زمین در خاک نوع ۱.

و مدت دوام مؤثر (۹۵-۵ درصد) به ترتیب در خاک‌های نوع ۱، ۲ و ۳ بیان شده است. ارتباط بین دوام‌ها و بیشینه‌ی شتاب سطح زمین توسط رگرسیون نیز بر روی نمودارها مشاهده می‌شود.

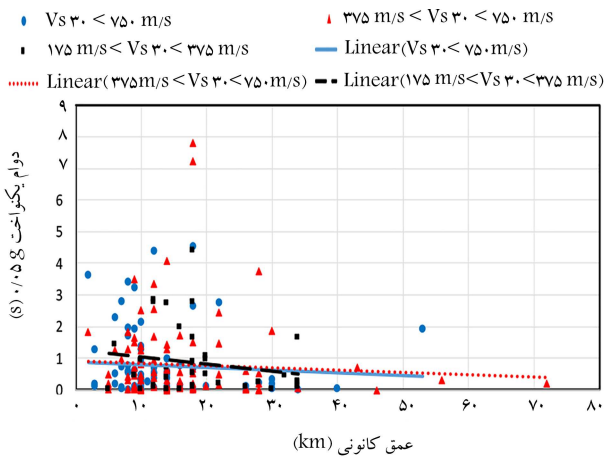
همچنین نتیجه‌ی می‌شود که برخلاف دوام بازه‌ی و دوام یکنواخت، رابطه‌ی مشابهی برای دوام مؤثر وجود ندارد. می‌توان گفت عدمه‌ی رکوردهای با دوام مؤثر (۹۵-۵ درصد) طولانی (بالای ۲۰ ثانیه) شتاب اوج زمین کمتر از $g/0.05$ داشته‌اند. در اینجا ویژگی‌های مدت دوام بازه‌ی در آستانه‌ی شتاب $g/0.05$ ، مدت دوام یکنواخت در آستانه‌ی شتاب $g/0.058$ ، مدت دوام مؤثر (۹۵-۵ درصد)، عمق

است. در شکل‌های ۷ الی ۹، روابط بین بیشینه‌ی شتاب سطح زمین و مدت دوام یکنواخت در آستانه‌ی شتاب $g/0.058$ به ترتیب در خاک‌های نوع ۱، ۲ و ۳ بیان شده است. ارتباط بین دوام‌ها و بیشینه‌ی شتاب سطح زمین توسط رگرسیون نیز بر روی نمودارها مشاهده می‌شود.

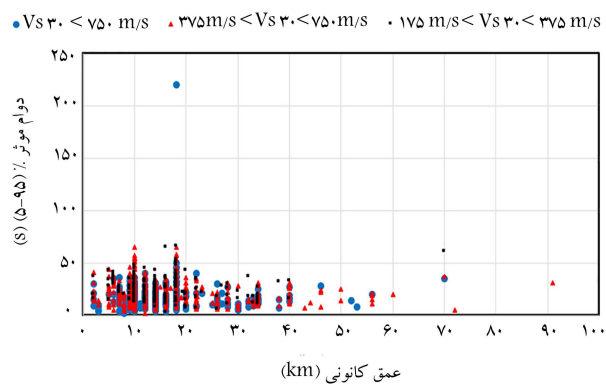
نتیجه‌ی دیگر آن است که با افزایش بیشینه‌ی شتاب سطح زمین، دوام یکنواخت در هر سه نوع خاک افزایش یافته است. همچنین هر چه خاک نرم‌تر شده است، شب تغییرات دوام یکنواخت تا اندازه‌ی با بیشینه‌ی شتاب سطح زمین افزایش یافته است. همچنین در شکل‌های ۱۰ الی ۱۲، روابط بین بیشینه‌ی شتاب سطح زمین



شکل ۱۴. رابطه‌ی بین دوام بازه‌ی در آستانه‌ی $g/0^{\circ}$ و عمق کانونی.



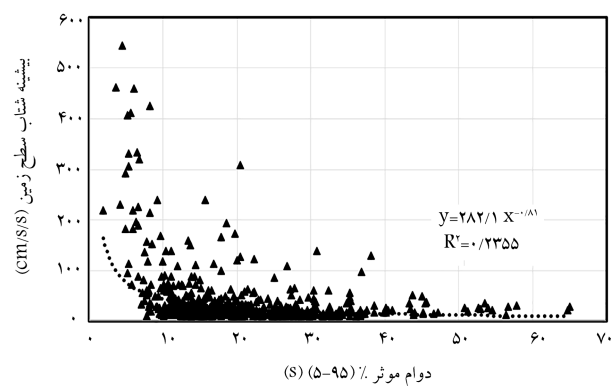
شکل ۱۵. رابطه‌ی بین دوام یکنواخت در آستانه‌ی $g/0^{\circ}$ و عمق کانونی.



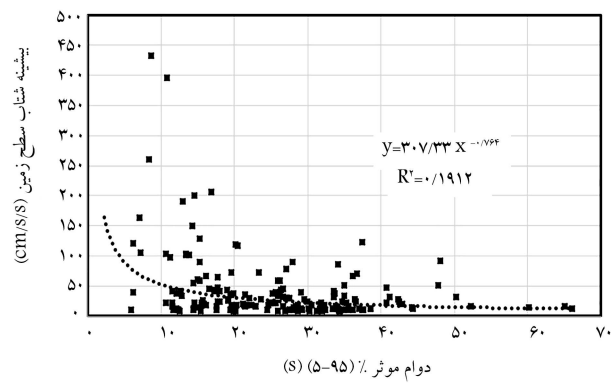
شکل ۱۶. رابطه‌ی بین دوام مؤثر (۹۵-۵ درصد) و عمق کانونی.

می‌شود که مطابق آن‌ها، با افزایش عمق کانونی مقدار دوام با تعاریف مختلف کاهش می‌یابد. به خصوص بعد از عمق کانونی 20 کیلومتر، دوام بازه‌ی با آستانه‌ی $g/0^{\circ}$ عمده‌تاً کمتر از 10 ثانیه است.

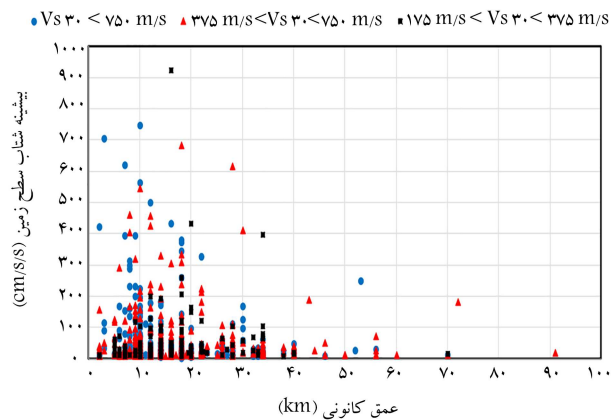
شرایط خاک محلی سایت‌های مشاهداتی، آثار چشمگیری در حرکات زمین لرزه‌ی می‌گذارد. بنابراین، برای آشکار کردن آثار شرایط سایت محلی در بیشینه‌ی شتاب سطح زمین و دوام حرکت زمین لرزه در مطالعه‌ی حاضر، میانگین سرعت موج برشی در 3° متر فوقانی ($V_{S3^{\circ}}$) به عنوان پارامتر کمی از شرایط سایت محلی



شکل ۱۱. شکل رابطه‌ی بین دوام مؤثر (۹۵-۵ درصد) و بیشینه‌ی شتاب سطح زمین در خاک نوع ۲.



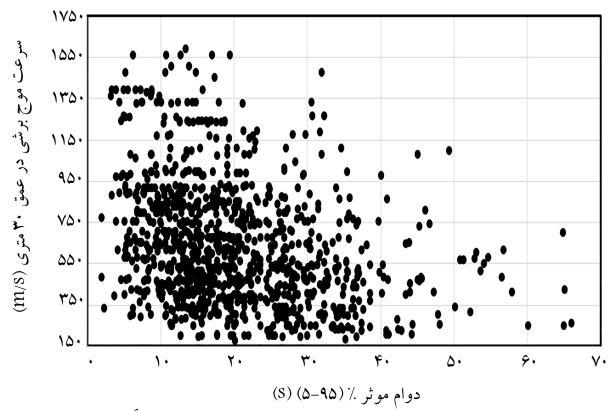
شکل ۱۲. شکل رابطه‌ی بین دوام مؤثر (۹۵-۵ درصد) و بیشینه‌ی شتاب سطح زمین در خاک نوع ۳.



شکل ۱۳. پراکنش بین بیشینه‌ی شتاب سطح زمین و عمق کانونی.

کانونی، سرعت موج برشی در عمق 3° متری و بیشینه‌ی شتاب سطح زمین با استفاده از داده‌های ایران بررسی شده است. در شکل ۱۳، پراکنش بیشینه‌ی شتاب سطح زمین در مقابل عمق کانونی مشاهده می‌شود که مطابق آن با کاهش عمق کانونی، همبستگی مستقیم تدریجی با بیشینه‌ی شتاب سطح زمین وجود دارد. به عبارت دیگر، با افزایش عمق کانونی از شدت بیشینه‌ی شتاب سطح زمین کاسته می‌شود.

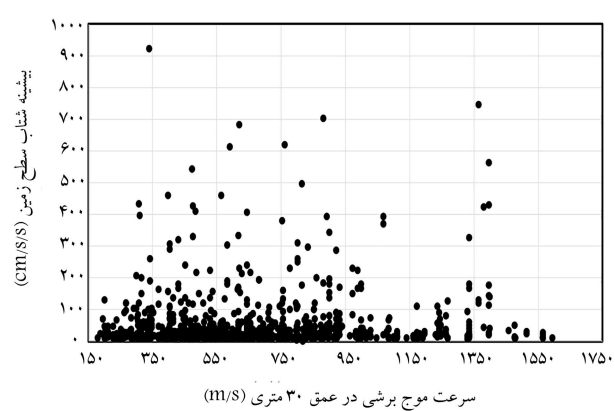
در شکل‌های ۱۴ الی ۱۶، به ترتیب دوام بازه‌ی در آستانه‌ی $g/0^{\circ}$ و دوام مؤثر (۹۵-۵٪) در مقابل عمق کانونی مشاهده یکنواخت در آستانه‌ی $g/0^{\circ}$ و دوام مؤثر (۹۵-۵٪) در آستانه‌ی $g/0^{\circ}$ در آستانه‌ی $g/0^{\circ}$ در آستانه‌ی $g/0^{\circ}$



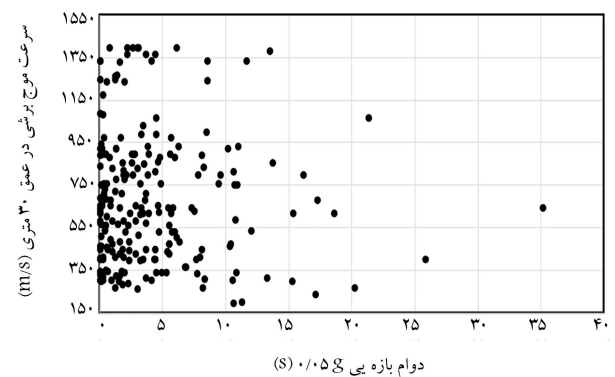
شکل ۲۰. پراکنش سرعت موج برشی در عمق ۳۰ متری و دوام مؤثر (۹۵-۵ درصد).

و یکنواخت مختلفی را در شکل‌های ۱۸ و ۱۹ نمایش داده‌اند. برای نتیجه‌گیری دقیق‌تر باید دوام و شرایط ساختگاه در گروه‌های مختلف خاک با دسته‌بندی بزرگ‌آ همچون شکل‌های ۴ الی ۱۲ تفکیک شود. به عنوان یک نتیجه‌ی کلی می‌توان گفت هر چه خاک سخت‌تر شود، دوام بازه‌ی و یکنواخت کاهش خواهد یافت.

نمودار پراکنش سرعت موج برشی در عمق ۳۰ متری و دوام مؤثر در شکل ۲۰، اگر چه پراکندگی نسبتاً زیادی دارد، اما نشان می‌دهد که با افزایش سرعت موج برشی از دوام مؤثر کاسته شده است. به عنوان مثال، به طور تقریبی رکوردهایی که دوام مؤثر بالای ۵۰ ثانیه داشته‌اند، عموماً در ساختگاه‌های با سرعت موج برشی زیر ۶۰۰ m/s ثبت شده‌اند.



شکل ۱۷. پراکنش بیشینه‌ی شتاب سطح زمین و سرعت موج برشی در عمق ۳۰ متری.

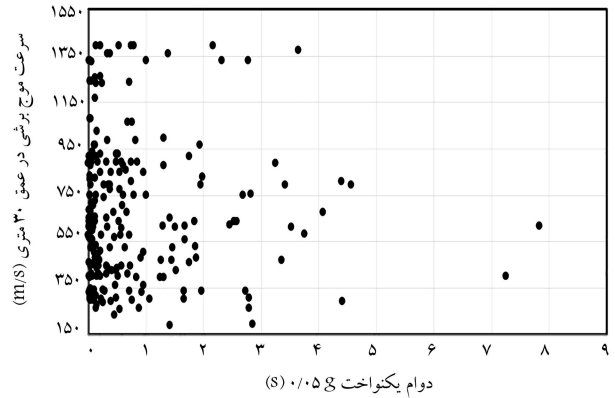


شکل ۱۸. پراکنش سرعت موج برشی در عمق ۳۰ متری و دوام بازه‌ی در آستانه‌ی ۰/۰۵۰ m/s.

۵. نتیجه‌گیری

در پژوهش حاضر، از ۱۰۵۴ رکورد سه مؤلفه‌ی مربوط به ۱۹۷ رویداد لرزه‌ی ثبت شده در ایران با بزرگ‌آی گشتاور بزرگ‌تر با مساوی ۵/۰ تا سال ۲۰۱۹ از مرکز تحقیقات راه، مسکن و شهرسازی در ایران استفاده شده است. تمامی رکوردها مربوط به ساختگاه‌هایی هستند که عمق کانونی و سرعت موج برشی در ۳۰ متر اول عمق برای آن‌ها موجود است. پس از تهیه‌ی رکوردها، تصحیح خط طبقه‌ی مربوط به ساختگاه‌هایی با آستانه‌ی شتاب ۰/۵ و دوام مؤثر ۹۵-۵ درصد نیز محاسبه شد. سپس با توجه به آئین‌نامه‌ی زلزله‌ی ۲۸۰ ایران، گروه‌بندی نوع خاک صورت گرفت و داده‌ها بر حسب نوع خاک در سه دسته قرار گرفتند. مدت دوام و شتاب اوج زمین به عنوان پارامتر نماینده‌ی مدت دوام و ویژگی‌های دامنه‌ی حرکات زمین لرزه‌ی انتخاب شدند. علاوه بر این، میانگین سرعت موج برشی در ۳۰ متر فوکانی (Vs₃₀) به عنوان پارامتر کمی از شرایط سایت محلی در نظر گرفته شد. همچنین علاوه بر مطالعه‌ی ویژگی‌های شتاب اوج زمین و سرعت موج برشی و دوام زلزله، عمق کانونی نیز بررسی شده است. خلاصه‌ی نتایج تحلیل‌های صورت گرفته به این شرح هستند:

- با افزایش شتاب اوج زمین، دوام بازه‌ی و یکنواخت افزایش می‌باید؛ در حالی که رابطه‌ی مذکور در مورد دوام مؤثر این‌گونه نیست. در ارتباط با دوام مؤثر، عمدۀ رکوردهای با دوام مؤثر ۹۵-۵ (درصد) طولانی (بالای ۲۰ ثانیه)، شتاب اوج زمین کمتر از ۰/۱ داشته‌اند.



شکل ۱۹. پراکنش سرعت موج برشی در عمق ۳۰ متری و دوام یکنواخت در آستانه‌ی ۰/۰۵۰ m/s.

همان‌طور که پیشتر ذکر شد، در نظر گرفته شده است. در شکل ۱۷، پراکنش بیشینه‌ی شتاب سطح زمین و سرعت موج برشی در عمق ۳۰ متری مشاهده می‌شود. در شکل‌های ۱۸ الی ۲۰، به ترتیب پراکنش سرعت موج برشی در عمق ۳۰ متری در برابر دوام بازه‌ی در آستانه‌ی ۰/۰۵ و دوام یکنواخت در آستانه‌ی ۰/۰۵ و دوام مؤثر ۹۵-۵ درصد مشاهده می‌شود.

از آنجا که زلزله‌های قوی ایران (با بزرگ‌آی گشتاور بیش از ۵) در مطالعه‌ی حاضر روی ساختگاه‌های متفاوت و ناشی از بزرگ‌آی مختلف بوده‌اند، دوام‌های بازه‌ی

- رابطه‌ی بین سرعت موج برشی در عمق 30 متری و دوام مؤثر نشان می‌دهد که با افزایش سرعت موج برشی، از دوام مؤثر کاسته شده است.
- در خاتمه باید افزود رابطه‌ی بین مدت دوام و بیشینه‌ی دامنه‌ی حرکات قوی زلزله برای حرکت ورودی در دسترس برای طراحی مقاوم سازه‌ها در برابر زلزله، به خصوص سازه‌های بتون مسلح که در سیکل‌های پیاپی زلزله دچار افت سختی و کاهش مقاومت می‌شوند، اهمیت زیادی دارد.
- همچنین هر چه خاک نرم‌تر شده است، شب رابطه‌ی دوام بازه‌ی و یکنواخت با بیشینه‌ی شتاب سطح زمین افزایش یافته است.
- با افزایش عمق کانونی، مقدار دوام با تعاریف مختلف کاهش یافته است. به خصوص بعد از عمق کانونی 20 کیلومتر، دوام بازه‌ی با آستانه‌ی $g/0.05$ ، عددتاً کمتر از 10 ثانیه بوده است.

پانوشت‌ها

1. Kamiyama
2. Chandramohan
3. Capraro
4. Fairhurst
5. Ventura
6. Trifunac & Brady
7. Dobry
8. peak ground acceleration
9. Bommer & Pereira
10. Husid

منابع (References)

1. Pawirodikromo, W. "The Effects of earthquake significant duration D595 to the earthquake intensity measures and the inelastic response of SDOF reinforced concrete structure", *In MATEC Web of Conferences*, **280**, 18 p., EDP Sciences (2019).
2. Kanai, K. and Sakai, Y. "Some studies on the correlation between strong motions of SMAC's records at Kushiro distinct meteorological observatory and damages of structures in Kushiro city by the Hiroooki earthquake", *Proceedings of the 3ed Japan Earthquake Engineering Symposium*, pp. 771-778 (1970).
3. Sofiane, H., Bourahla, N. and Nasser, L. "Significant duration prediction and evaluation of the effects of seismological parameters using neural networks", *Structural Engineering and Mechanics*, Ilsan (Seoul), Korea (2017).
4. Bommer JJ, Martinez-Pereira, A. "The effective duration of earthquake strong motion", *J Earthq Eng*, **3**(2), pp. 127-72 (1999).
5. Chandramohan, R., Baker, J.W. and Deierlein, G.G. "Quantifying the influence of ground motion duration on structural collapse capacity using spectrally equivalent records", *Earthq. Spectr.*, **32**(2), pp. 927-950 (2015).
6. Hou, H. and Qu, B. "Duration effect of spectrally matched ground motionson seismic demands of elastic perfectly plastic SDOFS", *Eng. Struct.*, **90**, pp. 48-60 (2015).
7. Song, R., Li, Y. and vande Lindt, J.W. "Impact of earthquake ground motion characteristics on collapse risk of post-main shock buildings considering after-shocks", *Eng. Struct.*, **81**, pp. 349-361 (2014).
8. Raghuandan, M. and Liel, A.B. "Effect of ground motion duration on earthquake- induced structural collapse", *Struct. Saf.*, **41**, pp. 119-133 (2013).
9. Ou, Y.-Ch., Song, J., Wang, P.-H. and et al. "Ground motion duration effects on hysteretic behavior of reinforced concrete bridge columns", *J. Struct. Eng.*, **140**(3), 04013065 (2014).
10. Kamiyama, M. "A statistical analysis of duration and its related parameters with emphasis on local soil conditions", *JSCE*, **350/I-2**, pp. 271-280 (1984).
11. Shoji, Y., Tanii, K. and Kamiyama, M. "The duration and amplitude characteristics of earthquake ground motions with emphasis on local site effects", *In 13th World Cof. Earthq. Eng.*, **436** (Aug., 2004).
12. Chandramohan, R., Baker, J.W. and Deierlein, G.G. "Quantifying the influence of ground motion duration on structural collapse capacity using spectrally equivalent records", *Earthquake Spectra*, **32**(2), pp. 927-950 (2016).
13. Chandramohan, R. "Duration of earthquake ground motion: Influence on structural collapse risk and integration in design and assessment practice", Stanford University, Stanford, CA, USA (2016).
14. Capraro, I. "Damage, collapse potential and long duration effects of subduction ground motions on structural systems", University of British Columbia (2018).
15. Fairhurst, M., Bebamzadeh, A. and Ventura, C.E. "Effect of ground motion duration on reinforced concrete shear wall buildings", *Earthq. Spectra*, **35**(1), pp. 311-331 (2019).
16. Shoji, Y., Tanii, K. and Kamiyama, M. "A study on the duration and amplitude characteristics of earthquake ground motions", *Soil Dynamics and Earthquake Engineering*, **25**(7-10), pp. 505-512 (2005).
17. Lingfeng, K., Maosheng, G. and Zhanxuan, Z. "The effect of duration of strong ground motion on the ductility demand of SDOF structure", *In IOP Conference Series: Earth and Environmental Science*, **304**(3), 032079 (Sep., 2019).
18. Ventura, C.E., Fairhurst, M., Bebamzadeh, A. and et al. "Seismic response and collapse risk of shearwall buildings subjected to long duration ground motion", In Concrete Structures in Earthquake, Springer, Singapore, pp. 167-184 (2019).

19. Bhanu, V., Chandramohan, R. and Sullivan, T.J. "Investigating the influence of ground motion duration on the dynamic deformation capacity of reinforced concrete framed structures", Pacific Conference on Earthquake Engineering, SkyCity, Auckland, New Zealand (4-6 Apr., 2019).
20. Molazadeh, M. and Saffari, H. "The effects of ground motion duration and pinching-degrading behavior on seismic response of SDOF systems", *Soil Dynamics and Earthquake Engineering*, **114**, pp. 333-347 (2018).
21. Trifunac, M.D. and Brady, A.G. "A study on the duration of strong earthquake ground motion", *Bull. Seis. Soc. Am.*, **65**(3), pp. 581-626 (1975).
22. Dobry, R., Idriss, I.M. and Ng, E. "Duration characteristics of horizontal components of strong-motion earthquake records", *Bull. Seis. Soc. Am.*, **68**(5), pp. 1487-1520 (1978).
23. BHRC, <http://smd.bhrc.ac.ir/Portal/en/Search /Waveforms> (last accessed: Feb., 2019).
24. Earthquake Design Building Regulations (Standard 2800), 3ed Edition, Road, Housing & Urban Development Research Center (1385).
25. Ambraseys, N.N. and Sarma, S.K. "The response of earth dams to strong earthquakes", *Geotechnique*, **17**(3), pp. 181-213 (1967).
26. Bolt, B.A. "Duration of strong ground motion", In: *Proceedings 5th World Conference on Earthquake Engineering*, Rome, pp. 1304-1313 (1973).
27. Bommer, J.J., Stafford, P.J. and et al. "Empirical equations for the prediction of the significant, bracketed, and uniform duration of earthquake ground motion", *Bull. Seismol. Soc. Am.*, **99**(6), pp. 3217- 3233 (2009).
28. Trifunac, M.D. and Brady, A.G. "A study on the duration of strong earthquake ground motion", *Bull. Seismol. Soc. Am.*, **65**(3), pp. 581-626 (1975).
29. Shoji, Y., Tanii, K. and Kamiyama, M. "A study on the duration and amplitude characteristics of earthquake ground motions", *Soil Dynamics and Earthquake Engineering*, **25**(2005), pp. 505-512 (2005).
30. Arias, A. "Measure of earthquake intensity", Massachusetts Inst. of Tech., Cambridge, Univ. of Chile, Santiago de Chile (1970).
31. Bommer, J.J. and Martinez-Pereira, A. "The effective duration of earthquake strong motion", *J. Earthq. Eng.*, **3**, pp. 127-172 (1999).
32. Raghunandan, M. and Liel, A.B.. "Effect of ground motion duration on earthquake-induced structural collapse", *Struct. Saf.*, **41**, pp. 119-133 (2013).
33. Wang, G., Zhang, S. and Zhou, C. "Correlation between strong motion durations and damage measures of concrete gravity dams", *Soil Dynamics and Earthquake*, **69**, pp. 148-162 (2015).
34. Trifunac, M.D. and Brady, A.G. "A study on the duration of raghunandan M, Liel AB. effect of ground motion duration on earthquake-induced structural collapse", *Struct. Saf.*, **41**, pp. 119-133 (2013).
35. Chandramohan, R., Baker, J.W. and Deierlein, G.G. "Quantifying the influence of ground motion duration on structural collapse capacity using spectrally equivalent records", *Earthq. Spectra*, **32**(2), pp. 927-950 (2016).
36. Zargaran, M. and Ansari, A. "Empirical equations for the predicting duration of earthquake ground motion in iranian plateau", International Institute of Earthquake Engineering and Seismology (IEES), Iran (2012).
37. Bolt, B.A. "Duration of strong ground motion", *Proc. 5th World Conf. Earthq. Eng.*, **1**, pp. 1304-1313 (1973).
38. Rezaee Manesh, M. and Saffari, H. "A review on seismic durability and its effects on vulnerability of concrete structures", *Disaster Prevention and Management Knowledge*, **9**(3), pp.253-266 (in Persian) (2019).